

## Al<sub>2</sub>O<sub>3</sub>/Cr<sub>2</sub>O<sub>3</sub>-ZrO<sub>2</sub>/HfO<sub>2</sub> 계의 기계적 거동

신동우 · 오근호 · 이종근

한양대 화교 무기재료공학과

Max-Planck-Institut für Metallforschung G. Petzow, N. Claussen

(1985년 6월 27일 접수)

## Mechanical Behavior of Al<sub>2</sub>O<sub>3</sub>/Cr<sub>2</sub>O<sub>3</sub>-ZrO<sub>2</sub>/HfO<sub>2</sub> System

D. W. Shin, K. K. Orr and C. K. Lee

Hanyang University Dept. of Inorganic Materials Engineering

Max-Planck-Institut für Metallforschung G. Petzow, N. Claussen

(Received 27 June, 1985)

### ABSTRACT

Several Al<sub>2</sub>O<sub>3</sub>-based polycrystalline which had different dopant ratio in the range of 0.5 mol%, were prepared by doping pure Cr<sub>2</sub>O<sub>3</sub>, ZrO<sub>2</sub>, HfO<sub>2</sub>.

Single crystalline which had same composition with above polycrystalline were made by means of floating zone method.

This study examined the role of each dopant for enhancing the mechanical properties of Al<sub>2</sub>O<sub>3</sub>-based Ceramics.

Optical micrographs ( $\times 200$ ) of Al<sub>2</sub>O<sub>3</sub>-Cr<sub>2</sub>O<sub>3</sub> single crystal showing not only radial crack (rc) on the specimen surface but median crack(mc) and lateral crack(lc) under surface at the edge of indentation mark.

Fracture toughness of Al<sub>2</sub>O<sub>3</sub>-based Ceramics was increased with ZrO<sub>2</sub> content.

Alloying effect of Cr<sub>2</sub>O<sub>3</sub> contributed to the hardness of Al<sub>2</sub>O<sub>3</sub> based ceramics.

### I. 서 론

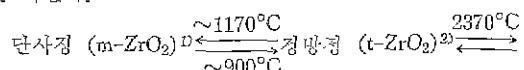
Alumina는 가장 널리 사용되는 대표적인 요연재료이나 강한 이온결합성에 의한 쥐성파괴현상 때문에 동적 구조 재료 (dynamic structural materials)로서 적절 용융이 제한되었다. 그러므로 이러한 쥐성파괴현상은 Alumina를 구조 재료로서 응용시 시급히 해결해야 할 선결 문제로 지적되어 왔다.

Al<sub>2</sub>O<sub>3</sub>-Based Ceramic의 기계적 물성을 증진시키기 위한 혼제까지의 연구를 기초로 본 연구에서는 Al<sub>2</sub>O<sub>3</sub>에 ZrO<sub>2</sub>, HfO<sub>2</sub>, Cr<sub>2</sub>O<sub>3</sub>를 0.5m/o 범위 내에서 미량 첨가한 후 이러한 첨가제의 분산 및 고용호파에 의하여 기계적 물성을 증진을 꾀하였으며, 아울러 등일한 조성의 단결정체를 만들어 다결정체와 마모성 및 파괴인성 치를 비교함과 동시에 의부응력에 의해 생성되는 각 균열의 전파특성을 직접 관찰하였다.

### II. 문헌 조사

#### II-1. ZrO<sub>2</sub> 분산 효과

ZrO<sub>2</sub>는 온도에 따라 다음과 같은 3 가지 동질이상형을 가진다.



정방정에서 단사정으로 변태시 약 3~5v/o 정도의 부피팽창을 한다.

- 1) m-ZrO<sub>2</sub>; monoclinic ZrO<sub>2</sub>
- 2) t-ZrO<sub>2</sub>; tetragonal ZrO<sub>2</sub>
- 3) c-ZrO<sub>2</sub>; cubic ZrO<sub>2</sub>

Bansal and A. H. Heuer<sup>1</sup>등에 의하면 m-ZrO<sub>2</sub> 단일상을 가열후 맹각시켜 광학顯미경, 전자顯미경으로 관찰해 본 결과 타원형의 경방경 상이 짧은 시간에 생

성되면서, martensitic 변태의 훌륭한 실현적 증거인 Surface Upheaval 현상을 관찰하여 t-ZrO<sub>2</sub>와 m-ZrO<sub>2</sub> 상전이를 martensitic 변태임을 밝혔다.

이러한 ZrO<sub>2</sub> 상변태 특성에 의한 ZrO<sub>2</sub>-containing ceramics의 파괴인성증진기구는 여러 보고자에 의해서 상이한 관점에서 설명되어 왔으며 이를 요약하면 다음과 같다.

### 1-1. 미세균열의 생성 및 확장(Microcrack Nucleation & Extension)<sup>2)~5)</sup>

Lange 및 Davidge와 Green<sup>7)</sup>은 복합체에서 일어나는 균열 현상을 각각 다른 방향에서 접근하여 다음과 같은 결론을 유도하였다.

$$D_c \geq c/\sigma_t^2$$

$D_c$ : 균열을 생성하는 임계입자 크기

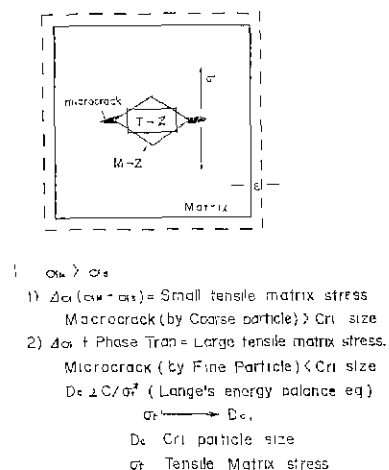
$\sigma_t^2$ : 인장기지응력 (Tensile Matrix Stress)

따라서 인장기지응력( $\sigma_t$ )이 증가하면 균열을 생성하는 임계입자크기 ( $D_c$ )가 감소하여 작은 입자에 의해 미세균열(Microcrack)이 생성 가능하다고 설명하였다.

Fig. 1은 Ceramic 복합체의 열처리 과정에서 일어나는 일반적인 현상을 도시하였다.

1) 일반적으로 기지의 열팽창계수( $\alpha_s$ )보다 큰 복합체에서는 냉각시 단자 열팽창계수의 차이( $\Delta\alpha = \alpha_m - \alpha_s$ )에 의해서는 생성되는 인장기지응력의 크기가 작아, 큰 입자에 의해 자날적으로 성장이 용이한 임계크기 이상의 불안정한 균열을 생성하므로 복합체의 파괴불성을 저하시킨다.

2) 그러나 이차상으로 상온에서 m-ZrO<sub>2</sub>로 존재하는 ZrO<sub>2</sub> 입자를 분산시킬 경우, 냉각시 t-ZrO<sub>2</sub>  $\rightarrow$  m-ZrO<sub>2</sub>



### 2 Other elastic properties

Fig. 1. General phenomena of composite ceramics

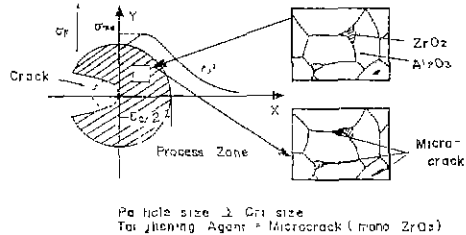


Fig. 2. Simplified stress distribution in process zone at tip of primary crack;  $b$ ,<sup>1</sup> elastic-quasiplastic solution. Intergranular and granular microcracks formed at inclusion within process zone. (Nils Claussen) Ref. (4)

상전이에 따른 부피팽창효과에 의해 단자 기지와 분산상간의 열팽창계수차이( $\Delta\alpha$ )에 의해서 발생할 수 있는 인장기지응력( $\sigma_t$ )보다도 훨씬 큰  $\sigma_t$ 를 유발시키는 균열을 생성할 수 있는 임계입자 크기를 감소시키므로, 이러한 작은 입자에 의한 미세균열을 제로내에 균일하게 생성하게 된다.

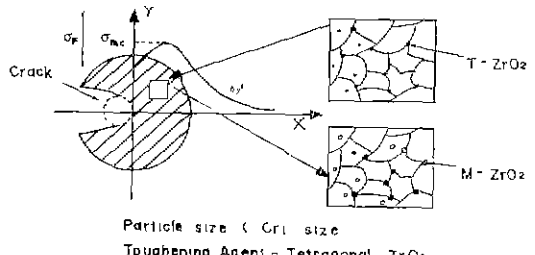
위의 사실을 근거로 Claussen<sup>3)~5)</sup> 등은 ZrO<sub>2</sub>-based composite에서 Fig. 2에서 보여주듯 기지의 임계에 위치하는 임계크기 이상의 t-ZrO<sub>2</sub> 입자는 냉각시 m-ZrO<sub>2</sub>으로 상전이를 일으켜 미세균열을 생성하게 되고 이러한 미세균열이 외부응력에 의해서 생성된 균열선단(crack tip)에 인장응력이 영향을 미치는 영역인 process zone 내에 있다면 인장응력이 미세균열을 안정된 크기로 성장시키는 에너지, 즉 미세균열의 파괴표면 에너지로 전이되어 인장응력이 흡수되므로 재료의 파괴인성이 증가한다고 설명하였고, ZrO<sub>2</sub> 결정립의 크기가 임계크기 이하일 경우 상온에서 t-ZrO<sub>2</sub>로 유지된 ZrO<sub>2</sub>가 process zone 내에서 m-ZrO<sub>2</sub>로 전이됨에 따라 미세균열 생성(microcrack nucleation)에 의해서 에너지가 흡수된다고 설명하였다.

이때 미세균열의 확장으로 흡수되는 에너지의 양은 m-ZrO<sub>2</sub>의 입자크기가 작고 부피분률이 증가할수록 커지며, 동시에 파괴표면 에너지가 줄수록 증가한다고 보고하였다.

### 1-2. 응력 유도 상전이<sup>9)~10)</sup> (Stress-Induced Phase Transformation)

t-ZrO<sub>2</sub>에서 m-ZrO<sub>2</sub>으로 상전이에 따른 에너지 흡수효과를 Fig. 3에 나타내었다.

PSZ 및 ZrO<sub>2</sub>-containing composite에서 파괴가 진행되는 균열선단의 응력장 내에 있는 임계크기 이하의 준안정 t-ZrO<sub>2</sub> 입자가 안정한 m-ZrO<sub>2</sub>으로 상전이를 일



### Stress-Induced Phase Transformation

Fig. 3 Simplified stress distribution in process zone at tip of primary crack;  $b_1^1$  elastic-quasiplastic solution. Compressive stress occurs around  $ZrO_2(m)$  crystallite due to transformational volume expansion within process Zone (Nils Claussen) Ref.(4)

으킴으로 기지와 Cohcrecy를 상실하여 응력장의 에너지를 흡수함과 동시에 상전이에 따른 부피팽창효과로 입자주위에 압축응력을 발생시켜 균열의 진행을 억제시킴으로써 파괴인성을 증진시킨다는 이론이다.

따라서 파괴인성을 증진시키기 위해서는  $ZrO_2$  입자의 크기를 감소시킴과 동시에 고용산화물( $Y_2O_3$ ,  $CaO$ ,  $MgO$ ) 등을 적절히 조절하여  $t-ZrO_2$ 의 부피분률을 증가시키는 것이 필요하다.

### II-2. $ZrO_2$ - $HfO_2$ 고용 효과<sup>10~15)</sup>

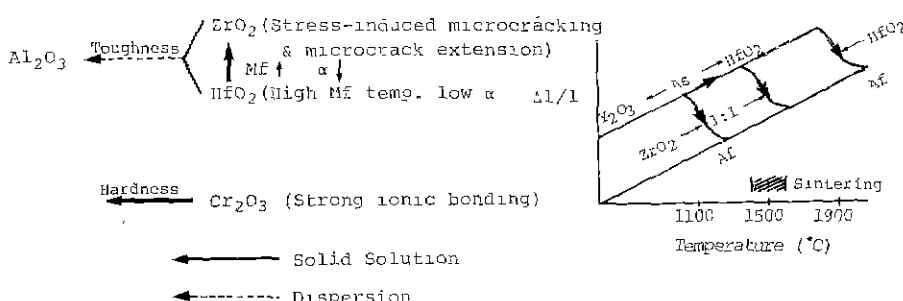
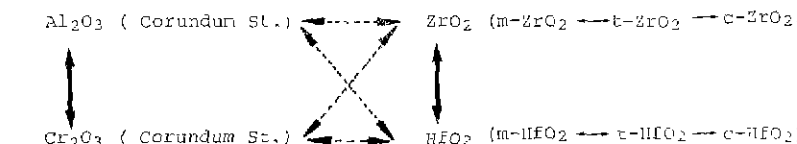


Fig. 4. Expected alloying and dispersion effect of each dopants in  $Al_2O_3$ -based ceramics. Dashed line represents solid solution formation and dotted line indicates dispersion states.

탄성분성이 큰 기지(matrix)에 미량의  $ZrO_2$ 를 분산시킬 경우, 기지의 억제효과(constraint effect)에 의하여  $ZrO_2$ 는 상온에서 대부분 경방정( $t-ZrO_2$ )으로 존재함으로써  $Al_2O_3-ZrO_2$ 계의 toughening의 주된 기구인 미세균열 확장에 따른 파괴인성의 증진을 기대할 수 있게 된다.

따라서  $ZrO_2$ 와 동일한 구조를 가지며 온도에 따른, 상변태 특성이  $ZrO_2$ 와 같은  $HfO_2$ 를 고용시킬 경우, 전조성법위에서  $HfO_2$ 는  $ZrO_2$ 와 거의 완전한 치환형 고용체를 형성한 뿐 아니라  $HfO_2$ 의 상전이 온도가  $ZrO_2$ 보다 높으므로 기지의 큰 억제효과에도 불구하고  $HfO_2$ 의 양이 증가할수록  $ZrO_2$  고온상( $t-ZrO_2$ )이 냉각시켜  $ZrO_2$  저온상( $m-ZrO_2$ )으로 전이되는 온도를 상승시켜 상온에서 미량 분산된  $ZrO_2$ 의 일부를 단사점으로 존재하게 할뿐 아니라,  $ZrO_2$ 의 열팽창 계수를 감소시켜  $Al_2O_3$ 의 열팽창 계수의 차를 증가시키므로  $ZrO_2$  상변태에 따른 미세균열의 생성을 더욱 용이하게 하며, 또한 상변태에 따른 화학적 구동력(chemical driving force)을 크게 하여 미량 첨가된  $ZrO_2$ 에 의한 파괴인성 증진을 가능하게 한다.

### II-3. $Al_2O_3-Cr_2O_3$ <sup>10~17)</sup> 고용효과

$Cr_2O_3$ 은  $Al_2O_3$ 과 동일한 구조(corundum)를 갖고 ( $Al \cdot Cr$ )<sub>2</sub>O<sub>3</sub> 고용체를 형성하여  $ZrO_2$ 나  $HfO_2$ 와는 binary phase를 형성하지 않으므로  $ZrO_2$ ,  $HfO_2$ 에 의한  $Al_2O_3$  파괴인성 증진에 악영향을 주지 않고  $Cr_2O_3$ 에 강한 결

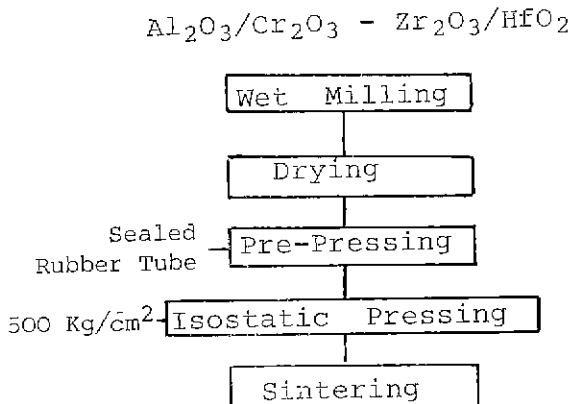


Fig. 5. Experimental procedure & batch composition for Al<sub>2</sub>O<sub>3</sub>-based polycrystalline specimen. Batch composition of table 2 were prepared intentionally for examining the solid solution and dispersion relation of Al<sub>2</sub>O<sub>3</sub>, Cr<sub>2</sub>O<sub>3</sub>, ZrO<sub>2</sub> in entire composition range.

Table 1. Preparation of Polycrystalline Specimen

System (m/o)	Symbols	Sintering Condition
A: 99.50%	P-1	1750C
C: 0.50%		
A: 99.50%	P-2	1850C
Z: 0.50%		
A: 99.50%	P-3	1850C
C: 0.30%		
Z: 0.20%		
A: 99.50%	P-4	1850C
Z: 0.30%		
H: 0.20%		
A: 99.50%	P-5	1850C
C: 0.30%		
Z: 0.10%		
H: 0.10%		

합성에 의한 Al<sub>2</sub>O<sub>3</sub> 고용체의 바모성 증진을 기대할 수 있다.

Fig. 4는 위의 고찰에 근거하여 Al<sub>2</sub>O<sub>3</sub>에 ZrO<sub>2</sub>, HfO<sub>2</sub>, Cr<sub>2</sub>O<sub>3</sub>을 첨가시 각 재료의 구조적 관점에서 예상되는 고용 및 분산관계를 도시하였으며 각 성분의 고유특성에 따른 Al<sub>2</sub>O<sub>3</sub>-based ceramics의 예상되는 첨가효과를 나타내었다.

Table 2. Al<sub>2</sub>O<sub>3</sub>-Cr<sub>2</sub>O<sub>3</sub>-ZrO<sub>2</sub> Batch Composition

System (m/o)	Symbols	Sintering Condition
C-20, Z-20, A-60	1	1500C, 1600C (2hr.) (2hr.)
C-20, Z-40, A-40	2	"
C-20, Z-60, A-20	3	"
C-40, Z-20, A-40	4	"
C-40, Z-40, A-20	5	"
C-60, Z-20, A-20	6	"

C: Cr<sub>2</sub>O<sub>3</sub>, Z: ZrO<sub>2</sub>, A: Al<sub>2</sub>O<sub>3</sub>

### III. 실험 방법

#### III-1. 시편 제작

##### 1-1. 다결정 시편제작

Fig. 5는 다결정 시편제작 과정과 각 시편의 조성을 나타내었다. Al<sub>2</sub>O<sub>3</sub>의 소결은도 범위에서 Table 1에 나타낸 첨가제의 고용 및 분산관계를 보다 명확히 밝히기 위하여 Table 2의 조성을 택하였다.

본 실험에서 출발원료로 사용한 Al<sub>2</sub>O<sub>3</sub>, ZrO<sub>2</sub>, Cr<sub>2</sub>O<sub>3</sub>, HfO<sub>2</sub> 시약은 각기 순도 99.7% 이상을 사용하였으며, Table 1, Table 2와 같이 각 조성별로 평량한 시료를 ethanol을 용매로 하여 마녀우발에서 반복하여 습식 분쇄한 후 충분히 혼조하였다. 성형은 분쇄한 시료를 그루 tube에 넣고 cylinder 형태로 1차 성형한 후 500 kg/cm<sup>2</sup>의 압력으로 isostatic pressing하여 Table 1, 2에 나타낸 소결은도로 상압공기 분위기에서 소결시켜 로냉하였다.

##### 2-1. 단결정 시편제작<sup>18)</sup>

위의 공정에 의해서 각 조성별로 얻은 다결정체를 이용하여 Table 3에 나타낸 조건으로 Fig. 6에 도시한 장치에서 Al<sub>2</sub>O<sub>3</sub>를 reservoir로 하여 FZ 망법으로 단결정 시편을 준비하였다.

1-1, 1-2에 의해서 제작된 시편을 직경 1cm, 높이 3mm 정도로 diamond cutting하여 측정 및 관찰을 하였다.

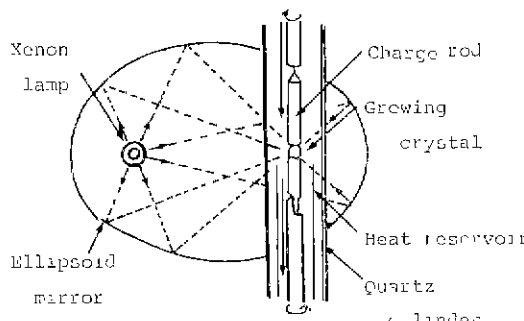
#### III-2. 시편의 특성 조사

##### 2-1. 임계 응력 확대 계수 ( $K_{IC}$ ) 및 경도 측정

각기 다른 첨가제가 Al<sub>2</sub>O<sub>3</sub>기지의 파괴인성에 미치는 영향을 확인하기 위하여 Table 1에 나타낸 시편의 임계응력 확대계수 (critical stress intensity factor) 즉  $K_{IC}$  값을 indentation 방법을 사용하여 측정하였다. 이 때 시편은 SiC 연마지 및 1μm, 0.3μm diamond paste로 잘 연마한 후 vicker 경도 측정기를 사용하여, 다

**Table 3.** Preparation of Single-Crystalline Specimen

System (m/o)	Symbols	Fusing Condition
A: 99.50%	S-1	over 2000C Seed Ruby
C: 0.50%		
A: 99.50%	S-2	over 2000C Seed Sapphire
Z: 0.50%		
A: 99.50%	S-3	"
C: 0.30%		
Z: 0.20%		
A: 99.50%	S-4	"
Z: 0.30%		
H: 0.20%		
A: 99.50%	S-5	"
C: 0.30%		
Z: 0.10%		
H: 0.10%		

**Fig. 6.** FZ system with infrared radiation convergence type heater.

결정체의 경우 7Kg 하중으로, 단결정은 6Kg 하중으로 indentation 하였다.  $K_{IC}$  값은 Evans 와 Charles<sup>19)</sup>가 보고 한 식에 의하여 계산하였다.

$$K_{IC} \Phi / H \sqrt{a} = 0.15 K(c/a)^{-3/2}$$

$K_{IC}$ : Fracture Toughness

H: Hardness

$\Phi$ : Constraint Factor  $\approx 3$

c: Indentation Crack Length

a: Half Diagonal of Vickers Indenter.

At large c/a value  $K \approx 3.2$

## 2-2. X-선 회절 분석

$Al_2O_3$  소결은 모두 위에서  $Al_2O_3-Cr_2O_3-ZrO_2$  3 성분계의 고용 및 분산 관계를 확인하기 위하여 Table 2에

표시된 각 조성의 시편을 X-선 회절 분석하였다.

### 2-3. 미세구조의 관찰

소결체의 결정립의 크기, 이차상의 분산 위치 등 미세조직을 관찰하기 위하여 주사 현미경(SEM)을 사용하였으며 indentation mark 주위의 균열의 전파 특성을 관찰하기 위하여 광학 현미경을 사용하였다.

## IV. 결과 및 고찰

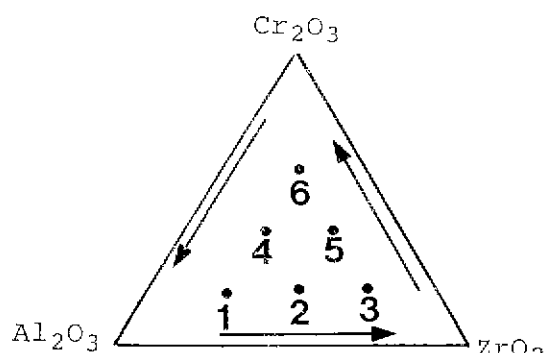
### IV-1. $Al_2O_3-Cr_2O_3-ZrO_2$ 계의 고용 및 분산

$Cr_2O_3$ 는  $Al_2O_3$ 과 치환형 고용체를 형성할 때  $Al_2O_3$ 의 경도, 마모성 증진을 기대할 수 있으며  $ZrO_2$ 는  $Al_2O_3$ 기지에 분산될 때 비로소  $ZrO_2$  고유의 상변태 특성에 의한  $Al_2O_3$  기지의 파괴인성증진을 기대할 수 있다. 이므로 본 설계에 앞서 전조성 범위에서 3성분 간의 분산 및 고용관계를 관찰하였다.

Fig. 7은 Table 2에 도시한 각 조성을 3성분체, 상평형도에 표시하였으며 Fig. 8은 Table 2의 조성의 시편을  $1500^{\circ}C$ 에 소성했을 때 나타나는 peak를 도시하였다. Fig. 8의 X-ray 분석으로부터  $ZrO_2$ 는 항상 순수한  $ZrO_2$  peak 위치에서 X-선 회절이 일어나고 있음을 보여주며, 또한  $ZrO_2$  양의 증감에 따라  $ZrO_2$  peak의 intensity도 비례하여 변화하고 있음을 알 수 있다.

그러나  $Al_2O_3-Cr_2O_3$ 는 순수한  $Al_2O_3$ ,  $Cr_2O_3$  peak 위치에서 벗어난 중간 영역에서 각 조성의 peak를 보여주고 있으며,  $Cr_2O_3$ 의 양이 증가함에 따라 중간 영역의 peak가 순수한  $Cr_2O_3$ 의 peak 위치로 접근하는 경향을 보여주고 있다. 이는  $Cr^{3+}$ 의 이온반경이  $Al^{3+}$ 에 비해 크므로 치환되어 고용될수록  $Al_2O_3$  고용체의 interplaner distance ( $d$ )가 커져서 diffraction angle이 감소하는 것으로 생각할 수 있다.

위의 결과로 미루어 보아  $ZrO_2$ 는  $Al_2O_3-Cr_2O_3$ 와 이

**Fig. 7.** Each numbered dot represent the specimen batch composition of table 2 respectively.

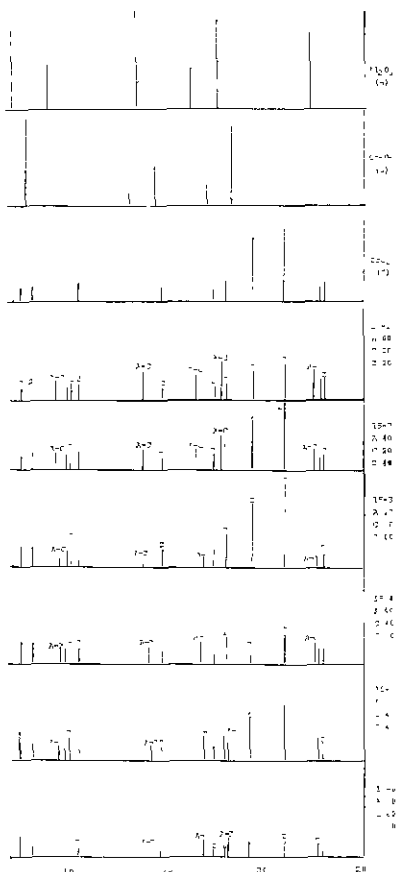


Fig. 8. X-ray diffraction pattern of polycrystalline specimen (table 2). The first to third patterns are showing standard X-ray peak of pure oxides.

면 종류의 화합물이나 고용체도 형성하지 않으며 Cr<sub>2</sub>O<sub>3</sub>는 Al<sub>2</sub>O<sub>3</sub>와 1500°C (Al<sub>2</sub>O<sub>3</sub> 소결온도)에서 전조성 범위에서 완전한 고용체를 형성한다.

## IV-2. Indentation Mark 주위의 균열의 전파 특성

### 2-1. 단결정체의 경우

Fig. 9는 Table 1의 S-1 조성의 단결정의 Laue Back Reflection Pattern이며 [0001]zone axes로 단결정이 비교적 잘 성장된 모습을 보여주고 있다.

Fig. 10은 Table 1의 S-1 조성의 단결정체의 표면에 6kg load로 indentation 한 후 indentation mark 주위의 균열의 전파특성을 보여주는 광학 현미경 사진이다.

Fig. 10의 (a) 사진으로 부터 Al<sub>2</sub>O<sub>3</sub>/Cr<sub>2</sub>O<sub>3</sub> 단결정의 표면에 indentation load에 의하여 indentation mark 모서리에서 전파되는 radial crack 뿐만 아니라 시편의

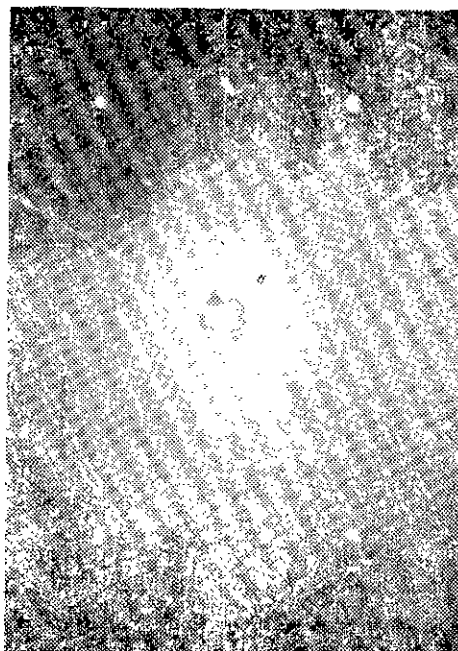


Fig. 9. Diffraction pattern of Al<sub>2</sub>O<sub>3</sub> (99.5)-Cr<sub>2</sub>O<sub>3</sub> (0.5) singlecrystal. [0001] zone axis

내부에 존재하는 median crack과 lateral crack도 동시에 보여주고 있다. (b)는 완전히 시편 표면으로 성장한 lateral crack에 의한 clipping 현상을 보여주고 있다.

Ceramic에 sharp한 stress를 가하면 radial crack이 있는데는 불투명한 시편의 표면 하부에 생성되어 관측이 불가능하여, 주로 glass 표면에 indentation 하여 median crack과 lateral crack의 존재를 보여주었다. Indentation 후의 indentation mark 주위의 radial crack과 lateral crack, median crack의 생성과정을 Fig. 11에 서 도식적으로 나타내면 다음과 같다.<sup>20)~21)</sup>

(A) Pyramid 형태의 indenter로 load를 가할 때 indenter tip 부근에 plastic zone이 형성된다.

(B) Plastic zone과 이 zone의 주위의 elastic zone의 접점에서 인장응력이 발생하고 가장 인장력이 큰 영역(median vent)에서 median crack이 생성된다. 이 때 median vent는 indenter의 대각선 방향의 평행한 두개의 상호 수직인 penny 형태의 crack으로 형성된다.

(c) 임계 plastic zone 이상으로 계속 load를 가함에 따라 표면 하부의 penny 형태의 crack이 불안정해져 시편 표면으로 전파하게 된다.

(d) 최종적으로 median crack은 침여 응력에 의해

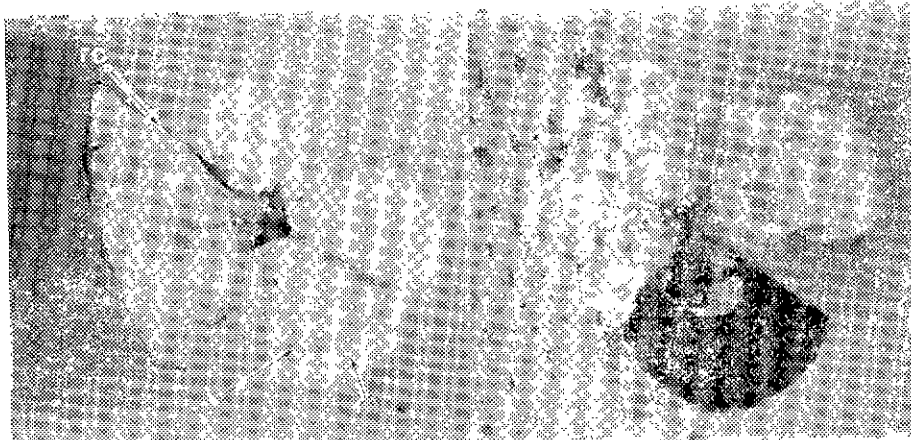


Fig. 10. Optical micrographs ( $\times 2000$ ) of  $\text{Al}_2\text{O}_3\text{-Cr}_2\text{O}_3$  singlecrystals showing crack propagation at the edge of indentation mark after 6kg load. Above photo showing not only radial crack (rc) on the surface but median crack (mc) and lateral crack (lc) under surface.

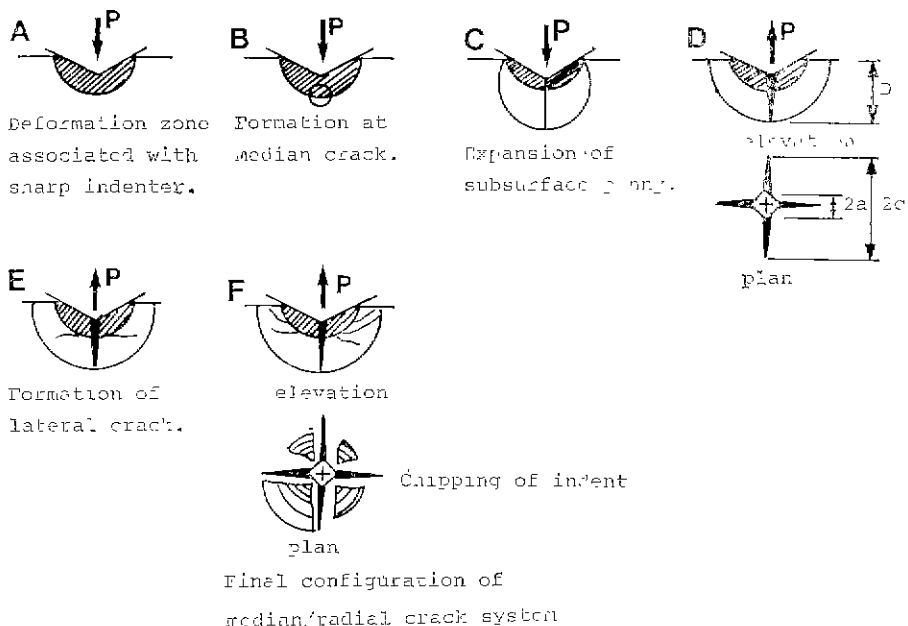


Fig. 11. Schematic diagrams of median, radial, lateral cracks occurrence procedure.

half-penny 형태를 이루며, 서로 수직인 crack (radial crack)을 생성하게 된다.

(e) 역시 plastic zone과 elastic zone과의 mechanical mismatch에 의한 잔여應력에 의해 plastic 표면과 평행하게 전파된다.

(f) 단일 indenter에 걸린 load가 너무 크면 lateral crack은 시편 표면으로 향하게 되어 그림과 같은 clipping 현상을 보이게 된다.

Fig. 12의 (a), (b), (c), (d)는 각 조성의 단결정의 표면에 6Kg load로 indentation 한 후 균일의 전파특성을 보여주는 광학 현미경 사진이며, Fig. 12의 (e)는 S-4 조성에서의 첨가제의 분산위치를 보여주는 SEM 사진이다. Fig. 12의 (a), (b), (c), (d)에서 radial crack은 조성에 관계없이 크게 전파되어 있으며, Fig. 12의 (c)에서  $\text{ZrO}_2$ ,  $\text{HfO}_2$  입자가  $\text{Al}_2\text{O}_3$  melting 시 segregation 되었음을 알 수 있다.

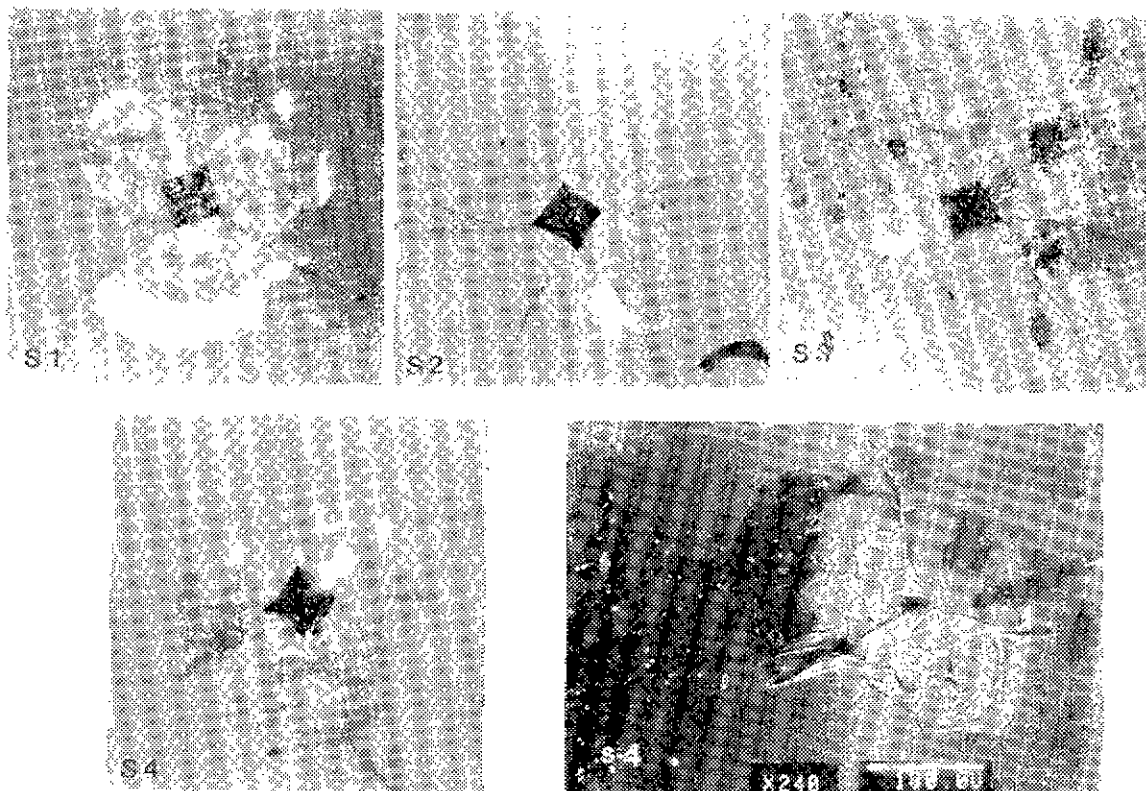


Fig. 12. Optical micrographs ( $\times 200$ ) of  $\text{Al}_2\text{O}_3$ -based singlecrystals showing crack propagation at the edge of indentation mark after 6Kg load.

SEM micrograph showing the segregation of  $\text{HfO}_2$  &  $\text{ZrO}_2$  particle in S-4 system.

## 2-2. 다결정체의 경우

Fig. 13은 Table 1에 나타낸 각 조성의 다결정체의 표면에 7Kg load로 indentation 한 후 indentation 주위의 균열의 전파특성을 보여주는 광학 현미경 사진이다.

Fig. 13 (a)로부터  $\text{Al}_2\text{O}_3-\text{Cr}_2\text{O}_3$  system이 가장 균일한 조직을 보여주고 있으며 Fig. 13 (b)  $\text{ZrO}_2$ 가 첨가됨에 따라 crack의 길이가 Fig. 13 (a)에 비해 감소하고 있으나 Fig. 13 (c)에서,  $\text{Cr}_2\text{O}_3$  양이 다시 증가함에 따라 crack은 다시 확장되어 인성이 감소하고 있다.

Fig. 13 (d)는  $\text{HfO}_2$ 가 첨가됨에 따라  $\text{HfO}_2$ 의 소결온도가 높아 시편의 소결밀도가 저하되고 그 양이 미량이어서 쉽게  $\text{ZrO}_2$ 와 고용체를 형성하지 못하여 시편의 조직이 불균질함을 보여주고 있다.

## W-3. $\text{Al}_2\text{O}_3$ -Based Ceramics의 파괴 인성 및 경도

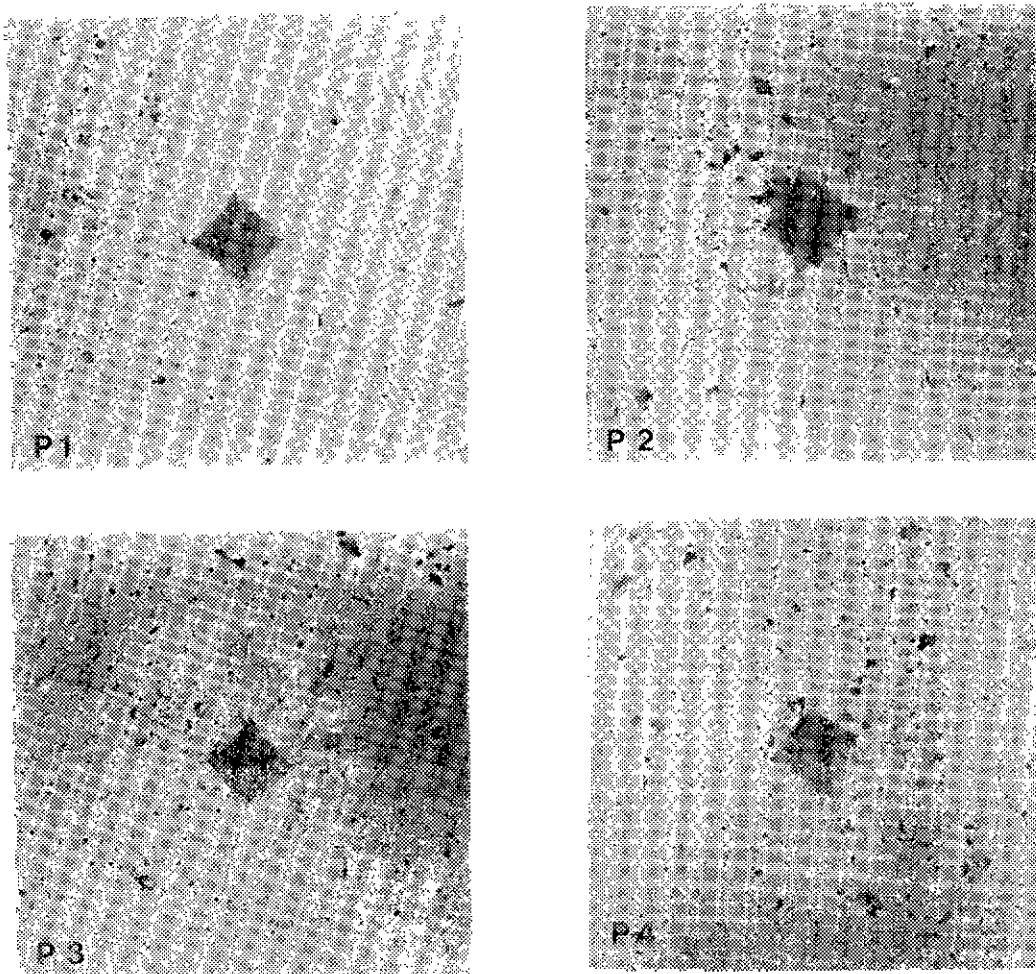
Table 1에 나타낸 각 조성의 단결정과 다결정의 파괴인성치 및 경도값을 Fig. 14와 Fig. 15에 각각 나타내었다.

## 3-1. 다결정체의 경우

$\text{ZrO}_2$  함량이 많은 P-2조성에서 가장 높은 파괴인성치를 보여주고 있으며,  $\text{ZrO}_2$  함량이 감소함에 따라, 즉 P-4, P-3, P-5의 순으로 파괴인성치가 감소하는 경향을 나타내고 있다.

이는  $\text{ZrO}_2$  고온상인 t-ZrO<sub>2</sub>가 저온에서 유지되어 외부응력장 내에서 m-ZrO<sub>2</sub>로 상전이를 일으키면서  $\text{Al}_2\text{O}_3$ 의 결정립계를 따라 미세균열을 생성하는 응력 유도 미세균열(stress-induced microcracking) 기구에 의하여 toughness가 증가되었다고 생각한다.

$\text{HfO}_2$ 는 t-ZrO<sub>2</sub>와 고용체를 형성하여 ZrO<sub>2</sub>의 열팽창계수를 감소시킴과 동시에 t-ZrO<sub>2</sub>→m-ZrO<sub>2</sub>로 전이되는 온도를 상승시켜 상온에서 미세균열의 확장기구에 의한 toughening 효과를 기대하였으나  $\text{HfO}_2$ 의 소결온도가 높아  $\text{HfO}_2$  첨가량이 증가할수록 소결체의 소결밀도가 (Fig. 13 (d)) 저하되어, 산화를 형세로 미량 혼합되었으므로  $\text{Al}_2\text{O}_3$  기지내에 넓은 간격으로 분산되어 있어서 소결시  $\text{Al}_2\text{O}_3$  결정립계를 따라 확산에 의한 물



**Fig. 13.** Optical micrograph ( $\times 200$ ) of  $\text{Al}_2\text{O}_3$ -based polycrystals showing crack propagation at the edge of indentation mark after 7Kg load.

걸 이동이 어려워  $\text{ZrO}_2$ 와 고용체 형성이 힘들어져 뚜렷한 첨가효과를 나타내지 못하였다.

$\text{Cr}_2\text{O}_3$ 는 알서의 X-ray 분석결과에서 보듯  $\text{Al}_2\text{O}_3$ 와 전조성 범위에서 치환형 고용체를 형성할 뿐 아니라,  $\text{Al}_2\text{O}_3$ 의 소결밀도를 증진시킴으로써 소결체의 파괴인성이 증진된다. 또한 경도치는  $\text{Cr}_2\text{O}_3$ 의 양이 많은 P-1 조성이 가장 큰 경도치를 보여주며,  $\text{Cr}_2\text{O}_3$ 양이 감소할 수록 경도치는 감소하고, 같은 양의  $\text{Cr}_2\text{O}_3$ 를 첨가한 P-3, P-5 조성은 같은 경도치를 보여주고 있다.  $\text{Al}_2\text{O}_3$  기지에 비해 탄성률성이 큰  $\text{Cr}^{3+}$ 이 치환되어 고용체를 형성 (Fig. 8)함에 따라 마모성이 증가되었다고 생각한다.

P-4 조성이 경도치가 가장 낮은 이유는  $\text{HfO}_2$  첨가에 따른 소결밀도의 저하와 분산된 이차상의 불균일성이 기인한다(Fig. 13 (d))。

#### 3-2. 단결정체의 경우

단결정의 파괴인성은 다결정체보다 크게 낮으며 (Fig. 12), 전 조성범위 (S-1, S-2, S-3, S-4, S-5)에서 거의 동일한 파괴인성치를 보여주고 있다.

이는 단결정의 밀도는 거의 이론 밀도에 가까워  $\text{ZrO}_2$  결정체에 대한 역제효과가 끈 아니라 다결정체에서 존재하는 결경립계가 존재하지 않아  $\text{Al}_2\text{O}_3$  결정립계를 따라서 확산기구에 의한  $\text{ZrO}_2$  결정체 성장이 용이하지 않아, 응력장 내에서  $\text{ZrO}_2$ 의 상전이가 힘들게 되며,

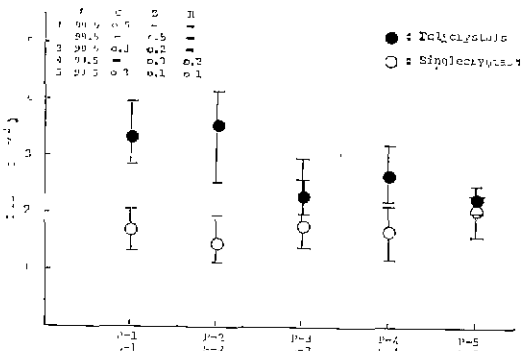


Fig. 14 Change in critical stress intensity factor ( $K_{IC}$ ) as a function of batch systems and crystals form. Figure show that the  $K_{IC}$  value of polycrystals are higher than those of single crystal.

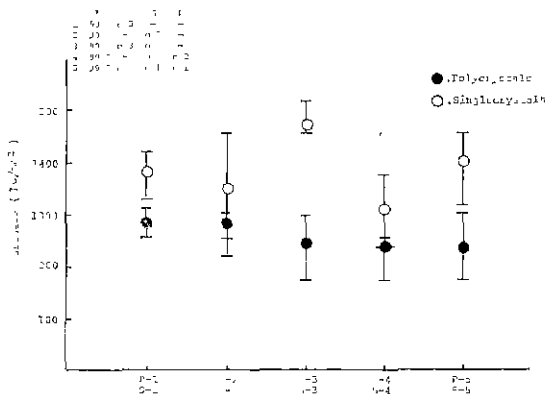


Fig. 15. Change in hardness as a function of batch systems and crystals form. Figure shows that the hardness values of single-crystal are higher than those of polycrystals.

또한 단결정 재조직 미량 첨가된 ZrO<sub>2</sub>, HfO<sub>2</sub>가 melting zone에서 segregation (Fig. 12 (e))되어 단결정에 고르게 분산되지 않아 toughening 효과를 기대할 수 없으므로 낮은 파괴인성치를 나타낸다.

단결정체는 다결정체에 비해 경도가 절체적으로 증가하였으며, Cr<sub>2</sub>O<sub>3</sub>를 고용한 단결정(P-1, P-3, P-5)이 우수한 마모성을 나타내고 있다. 이는 단결정의 밀도가 다른 밀도에 가까울 뿐 아니라 단결정에 비하여 미세구조가 규칙화 때문이다. ZrO<sub>2</sub>, HfO<sub>2</sub>가 첨가될 수록 분산된 이차상의 segregation에 기인한 조직의 불균일성이 때문에 축정치의 오차범위가 상당히 넓어짐을 보여주고 있다.

## V. 결론

- Cr<sub>2</sub>O<sub>3</sub>는 Al<sub>2</sub>O<sub>3</sub>의 치환 고용체를 형성하나 ZrO<sub>2</sub>(HfO<sub>2</sub>)와는 고용체를 형성하지 않는다.
- Al<sub>2</sub>O<sub>3</sub>에 ZrO<sub>2</sub>를 분산시키면 Al<sub>2</sub>O<sub>3</sub> 고용체의 파괴인성이 증진된다.
- Al<sub>2</sub>O<sub>3</sub>에 Cr<sub>2</sub>O<sub>3</sub>를 고용하면 Al<sub>2</sub>O<sub>3</sub> 고용체의 경도가 증진된다.
- Al<sub>2</sub>O<sub>3</sub>-ZrO<sub>2</sub>계에 HfO<sub>2</sub>를 미량 분산시키면 Al<sub>2</sub>O<sub>3</sub>의 소결밀도를 저하시키고, ZrO<sub>2</sub>와 고용체 형성이 이어워 파괴인성을 저하시킨다.
- Al<sub>2</sub>O<sub>3</sub>-Based Ceramic의 단결정 표면의 광학 현미경 사진으로부터 indentation 후의 median crack, lateral crack 생성 과정을 확인하였다.

\*본 연구는 1984년도 한국과학재단 연구비에 의한 것으로 한국과학재단에 깊은 감사를 드리며 또한 단결정개작에 많은 도움을 주신 일본무기재질 연구소(NIRIM) KIMURA 박사님께 진심으로 감사드립니다.

## 참 고 문 헌

- G. K. Bansal and A. H. Heuer, "Martensitic Phase Transformation in ZrO<sub>2</sub>" I. *Acta. Metall.*, 20 (11) pp. 1281~89, 1972. II. *ibid* 20(4)pp. 409~417, 1974.
- W. Kreher, W. Pompe, "Increased fracture toughness of ceramics by energy-dissipation mechanism" *J. Am. Cer. Soc.*, 66 pp. 694~706, 1981.
- N. Claussen, "Effect of Induced Microcracking on the Fracture Toughness of Ceramics" *ibid.*, 56 p. 6, 1977.
- N. Claussen, "Fracture Toughness of Alumina *ibid.*, an unstabilized Zirconia Dispersed Phase" with 59. p. 6, 1976.
- N. Claussen, "Slow Growth of Microcracks: Evidence for one Type of Zirconia Toughening" *ibid.*, C-191, 1982.
- D. J. Green, "Critical Microstructure for Microcracking in Al<sub>2</sub>O<sub>3</sub>-ZrO<sub>2</sub> Composit" *ibid.*, 65. p. 610, 1982.
- D. J. Green "Microcracking Mechanism in Ceramics" *Fracture Mechanics of Ceramics*, Plenum Press, New York-London vol. 5. pp. 457~458.
- S. D. L. Porter and A. H. Heuer, "Mechanism of

- Toughening Partially Stabilized Zirconia (PSZ)" *J. Am. Cer. Soc.*, **65**, p. 610, 1982.
9. T. K. Gupta, "Role of stress-induced phase Transformation in Enhancing Strength and Toughness of  $ZrO_2$  Ceramics"
10. F. F. Lange, "Transformation Toughening" *J. Mat. Sci.*, **17**, pp. 235~256, 1982.
11. Robert Ruh *et al.*, "The System Zirconia-Hafnia" *J. Am. Cer. Soc.*, **51**, p. 24, 1968.
12. O. M. Stansfield, "Thermal Expansion of Polycrystalline  $HfO_2$ - $ZrO_2$  Solid Solution" *ibid.*, **48**, p. 436, 1965.
13. Robert Ruh *et al.*, "Axial and Linear Thermal Expansion of  $ZrO_2$  and  $HfO_2$ " *ibid.*, **90**, p. 504, 1981.
14. Robert Ruh *et al.*, "Phase Relations and Thermal Expansion in the System  $HfO_2$ - $TiO_2$ " *ibid.*, **59**, p. 495, 1976.
15. S. C. Dole *et al.*, "Microcracking of Monoclinic  $HfO_2$ " *ibid.*, **61**, p. 486, 1978.
16. William C. Hagel, Initial Sintering of  $\alpha$ - $Cr_2O_3$ " *ibid.*, **49**, p. 23, 1966.
17. P. D. Owhy, "Final Sintering of  $Cr_2O_3$ " *ibid.*, **55**, p. 433, 1972.
18. Kenji Kitamura, "Control of Interface Shape by Using Heat Reservoir in FZ Growth with Infrared Radiation Convergence Type Heater" *J. Crystal Growth*, **57**, pp. 475~481, 1982.
19. A. G. Evans, E. A. Charles, "Fracture Toughness Determination by Indentation" *J. Am. Cer. Soc.*, **59**, p. 371, 1976.
20. D. B. Marshall, "Geometrical Effects in Elastic/Plastic Indentation" *ibid.*, **67**, p. 57, 1984.
21. D. B. Marshall, "Residual Stress Effects in Shape Contact Cracking" *J. Mat. Sci.*, **13**, p. 2001, 1979.